

دراسة بعض الخواص الريولوجية والميكانيكية للمواد المتراكبة (البولي أستر غير المشبع - نشارة الخشب) باستخدام تقنية الموجات فوق السمعية

شيماء هادي خضرير

جامعة بابل/ كلية التربية للعلوم صرفة

الخلاصة

في البحث الحالي تم دراسة بعض الخواص الريولوجية والميكانيكية لمتراكب البولي أستر غير المشبع - نشارة الخشب حيث تم معالجة كيماوية لنشارة الخشب باستخدام محلول (NaCl) بنسبة 0.5٪ عند درجة الحرارة (85°C) لمدة أربعة ساعات ولمختلف التراكيز (2-10٪) معبقاء معدل الحجم الحبيبي لنشارة خشب ثابت في جميع المجموعات مقداره 50 μm. أظهرت النتائج أن الخواص الريولوجية اشتغلت الكثافة والزوجة القصبية التي قيست بواسطة استخدام مقياس اللزوجة أستولد. أما الخواص الميكانيكية لمتراكب البولي أستر - نشارة الخشب فقد تم قياس سرعة الموجات فوق السمعية باستخدام تقنية الموجات فوق السمعية ذو التردد (26kHz) وتم نظريا حساب معامل الامتصاص وزمن الاسترخاء وسعة الاسترخاء الانضغاطية ومعامل المرونة والممانعة الصوتية النوعية للموجات فوق السمعية عند درجة حرارة الغرفة (20°C). أظهرت النتائج أن جميع الخواص المذكورة آنفًا لمتراكب البولي أستر غير المشبع - نشارة الخشب تزداد مع زيادة التركيز أسيًا او خطياً أما السرعة والممانعة الصوتية النوعية ومعامل المرونة لمتراكب البولي أستر غير المشبع - نشارة الخشب حيث وجد أنها تتناقص مع زيادة التركيز. وهذه النتيجة تبين وجود اندماج داخلي بين الجزيئات البولي أستر وجزيئات النشارة وكذلك بين جزيئات البولي أستر وحدة.

الكلمات الرئيسية : البولي أستر ، المعالجة السطحية ، نشارة الخشب ، والمواد المركبة .

Study of Some Rheological and Mechanical Properties of The Composite Materials(unsaturated Polyester-Wood) by Ultrasonic Waves

Abstract :

In the present work, the study of some rheological and Mechanical properties for(unsaturated Polyester-Wood Excelsior) composite materials .the chemical treatment to wood excelsior by using solution of (NaCl)by percent (0.5) at (85°C) for(4hr) to different percentages (2-10) % g/ml. the rate grain- size for Wood Excelsior was remained constant at (50μm)for all groups.The rheological properties for composite materials Polyester-Wood Excelsior which include, the density and shear viscosity were measured by using Ostwald Viscometer.The mechanical properties, the Ultrasonic velocity had been measured by Ultrasonic waves system with frequency (26KHz), we calculate theoretically , absorption coefficient , relaxation time, relaxation amplitude , compressibility, bulk modulus, and specific acoustic impedance. At room temperature (20°C). The results showed that all properties composite materials(Polyester-Wood Excelsior increase exponentially or linearly by increasing of concentration while velocity, specific acoustic impedance and bulk modules decrease by increasing concentration. This study show association between polyester-Wood Excelsior and solvent molecules, and also between polyester molecules it self .

Key Word : Polyester, surface treatment , wood excelsior , composite materials .

General Introduction

١- مقدمة عامة :

المقدمة :

في السنوات الاخيرة كثُر استخدام المواد المركبة ذات اساس بوليمر مقواة بالخشب الالياف ، دقائق او اشكال اخرى بشكل واسع في الصناعة ، ان سبب استخدام نشرة الخشب كتقوية بشكل واسع يعود لانخفاض الكلفة وسهولة الحصول عليها [D. Dobreva , S. Nenkova 2006].

ان المحدد الرئيسي لاستخدام الالياف نشرة الخشب كتقويات لفقر التلاصق البيني بين الهيدروفيليك القطبي (Non Polar-Hydrophilic) لنشرة الخشب والهيدروفليك غير القطبي (Polar-Hydrophobic) (Sizing) بمواد منها عامل للبوليمرات . لذا يتم تحسين الربط بين التقويات والبوليمرات بعد طرق منها الاكساء (Wax) او بمواد اخرى لتغطية سطح الالياف لتقليل طاقة السطح والربط (Coupling Agent) ، كشمع البرافين (Carnauba Wax) او بمواد اخرى لتحسين الخواص الريولوجية والميكانيكية . كذلك تستخدم المعالجة الكيميائية (Chemical Treatment) لنشرة الخشب لزيادة الخشونة السطحية وهذا يؤدي الى زيادة المساحة السطحية واحادث ربط تشابكي بيني ميكانيكي بين المواد المضافة والبولي استر [Bio Graphies and Abstracts,2001].

في عام (2001) اجريت معالجة لسطح الالياف الخشب باستخدام البلازما (Plasma) لتحسين الربط بين الالياف والارضية حيث اظهرت النتائج زيادة مقاومة الربط البيني للعينات المقاوة بالالياف خشب معالجة بالمقارنة مع العينات المقاوة بالالياف غير معالجة [Yibin Xue , David Veazie,2003].

وفي نفس العام أجريت معالجة كيميائية لألياف الخشب باستخدام (Maleic Acid) و (Glycerol) حيث اظهرت النتائج زيادة مقاومة الشد لعينات المواد المركبة المقاوة بالالياف خشب معالجة بالمقارنة مع العينات المقاوة بالالياف غير معالجة. وفي عام (2002) اجريت معالجة كيميائية لسطح دقائق الخشب ولسطح الالياف الخشب باستخدام (Maleic Anhydride grafted Polypropylene) (MAPP) حيث اظهرت النتائج ارتفاع مقاومة الشد والانحناء لعينات المواد المركبة ذات اساس بولي بروبيلين مقواة بدقة خشب معالجة بالمقارنة مع العينات المقاواة بدقة غير معالجة (Nicole M. Starck and Robert E. Rowlands, 2002). في عام (2006) اجريت معالجة كيميائية لسطح دقائق الخشب باستخدام (NaOH) و (ClCH_2COOH) ولمدة (48 hr) حيث اظهرت النتائج ارتفاع مقاومة الشد والصدم لعينات المواد المركبة ذات اساس بولي بروبيلين مقواة بدقة خشب معالجة بالمقارنة مع العينات المقاواة بدقة غير معالجة [Dobreva , S. Nenkova et.al 2006].

اما البحث الحالي فيهدف الى تقوية البولي استر وإنتاج مواد مركبة ذات خواص جيدة لكن فقر التلاصق البيني بين الخشب والبولي استر كان عائقاً للحصول على خواص ريلوجية ميكانيكية جيدة لذا تم اجراء معالجة كيميائية لنشرة الخشب باستخدام (NaCl).

Rheological Properties

Shear Viscosity

2 - الخصائص الريولوجية:

1-2 اللزوجة القصبية:-

(η_s)

اللزوجة القصبية هي إحدى خواص السائل وتعبر عن المقاومة التي تعانيها جزيئات السائل عند حركتها. وتقياس لزوجة محلول المخفف عادة باستخدام جهاز مقياس اللزوجة ذي الأنبوية الشعرية نوع أوستولد- فينسك (Ostwald-Fenske). يمكن حساب اللزوجة للمحلول بقياس زمن الجريان لحجم معين من محلول خلال أنبوية أوستولد-فينسك ومقارنته بالזמן اللازم لجريان الحجم نفسه من مادة قياسية (كالماء المقطر) إذ أن :[Al-Bermany,2003,]

$$\frac{\eta_s}{\eta_0} = \frac{t_s \rho_s}{t_0 \rho_0} \quad \dots \dots \dots \quad (1)$$

حيث (t_0, t_s) زمن الجريان للماء المقطر والمحلول على التوالي. ρ_s, ρ_0 كثافة الماء المقطر والمحلول على التوالي. η_s, η_0 اللزوجة القصبية للماء المقطر والمحلول على التوالي. تقيس اللزوجة القصبية بوحدة (g/cm.s) وتسمى بالبليس (poise).

Mechanical Properties

3 - الخواص الميكانيكية:

Ultrasonic Velocity (V)

1-3 سرعة الموجات فوق السمعية:

أن سرعة الموجات فوق السمعية تختلف باختلاف الوسط الناقل لها. ويمكن حساب سرعة الموجات فوق السمعية في الأوساط المختلفة بدلالة كثافة الوسط (ρ) ومعامل المرونة (k) وتسمى هذه العلاقة بصيغة نيوتن [Harper A.Ch. ,2002

$$V = \sqrt{k/\rho} \quad \dots \dots \dots \quad (2)$$

إن الامتصاص الناشئ عن اللزوجة القصبية والحرارة يسمى بمعامل الامتصاص الكلاسيكي (α_c) ويتناسب مع مربع تردد الموجات فوق السمعية ويعبر عنه بالعلاقة:

$$\alpha_c = \alpha_{vis} + \alpha_{th} \quad \dots \dots \dots \quad (3)$$

إذ (α_{vis}) معامل الامتصاص الناشئ عن اللزوجة و (α_{th}) معامل الامتصاص الناشئ من الانتقال الحراري من مناطق التضاغط إلى مناطق التخلخل نتيجة لمرور الموجات فوق السمعية في الوسط. لذا يكون معامل الامتصاص [Harper A.Ch. ,2002]:

$$\alpha_c = \frac{8\pi^2 f^2 \eta_s}{3\rho V^3} + \frac{\delta(\gamma - 1)\omega^2}{2\rho C_v \gamma V^3} \quad \dots \dots \dots \quad (4)$$

(γ) تمثل النسبة بين الحرارة النوعية عند ضغط ثابت (C_p) والحرارة النوعية عند حجم ثابت (C_v)، (δ) التوصيلية الحرارية، (f) تردد الموجات فوق السمعية حيث أن ($2\pi f = \omega$) التردد الزاوي. أن جزء من عملية الامتصاص يحول طاقة الموجات فوق السمعية إلى حرارة مباشرة، وفي معظم السوائل فإن الامتصاص الناتج عن الحرارة يكون ذا كمية صغيرة جداً إذ يمكن إهمالها لذلك تصبح العلاقة السابقة على ما يأتي [Harper :A.Ch. ,2002

$$\alpha_c = \alpha_{vis} = \frac{8\pi^2 f^2 \eta_s}{3\rho V^3} \quad \dots \dots \dots \quad (5)$$

Relaxation in Liquids

3- 2 الاسترخاء في السوائل:

إن حدوث أي تغير فجائي في المنظومة يؤدي بها إلى السير إلى حالة موازنة جديدة تدعى هذه الظاهرة بالعملية الاسترخائية. وهذه العملية تحدث خلال زمن معين يعرف بزمن الاسترخاء ويرمز له بالحرف (Relaxation Time) (t). إن زمن الاسترخاء هو المعدل الزمني اللازم لقفز الجزيئات بين مواقعين متضادتين يمكن أن تتميز بها وتكتسب الجزيئية طاقة كافية للتغلب على حاجز الطاقة ليحدث الانتقال، لذلك يعتبر زمن الاسترخاء مقياساً لسرعة تبدد طاقة الموجة.

ويعطى زمن الاسترخاء بالعلاقة: [Khansaa D.S, 2003]

$$t = \frac{4\eta_s}{3\rho V^2} \quad \dots \dots \dots (6)$$

وتعتبر النسبة (α/f^2) بسعة الاسترخاء (Relaxation Amplitude) وهي سعة الموجة فوق السمعية بعد عملية الاسترخاء [Khansaa D.S, 2003] :

$$D = \alpha/f^2 \quad \dots \dots \dots (7)$$

والممانعة الصوتية النوعية تعرف من العلاقة الآتية [Khansaa D.S, 2003]

$$z = \rho V \quad \dots \dots \dots (8)$$

ويمكن حساب الانضغاطية من معادلة لابلاس [Khansaa D.S, 2003]

$$B = (\rho V^2)^{-1} \quad \dots \dots \dots (9)$$

وأن معامل المرونة هو مقلوب الانضغاطية ويعطى بالعلاقة الآتية [Khansaa D.S, 2003] :

$$k = B^{-1} = \rho V^2 \quad \dots \dots \dots (10)$$

4- المواد وطرق العمل

4-1 تهيئة المواد الأولية وتشمل:

* راتنج البولي أستر غير مشبع

تم استخدام راتنج البولي أستر غير المشبع (Unsaturated Polyester Resin) وهو من الراتنجات المتصلدة بالحرارة والذي يتميز بفعاليته العالية ولزوجته المنخفضة وكثافته (1.1923 - 1.19) غم / سم³.

ويصلد هذا الراتنج بالإضافة عوامل محفزة ومواد مصلدة ومواد معجلة (Accelerator) وتستخدم مادة (Cobalt Octoate) كمادة معجلة. (Hans-Geory E., Vohwinkel F, 1986).

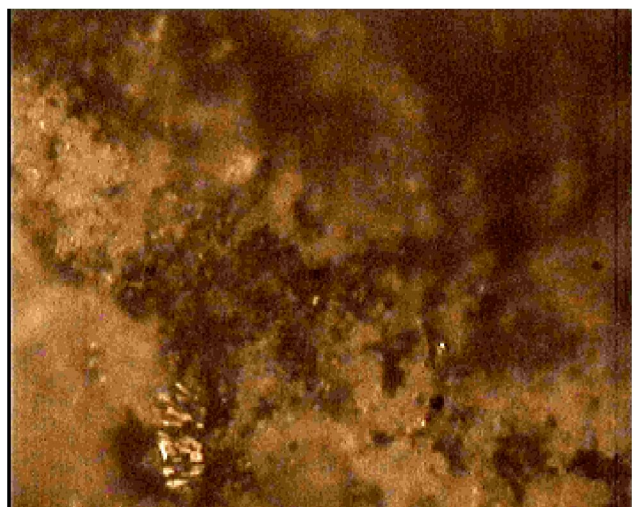
يستخدم هذا الراتنج بصورة واسعة في الصناعة لامتلاكه الكثير من الخواص الفيزيائية والميكانيكية الجيدة فضلاً عن سهولة الاستعمال وقلة الكلفة .

* مرحلة تهيئة مادة الإضافة (نشارة الخشب)

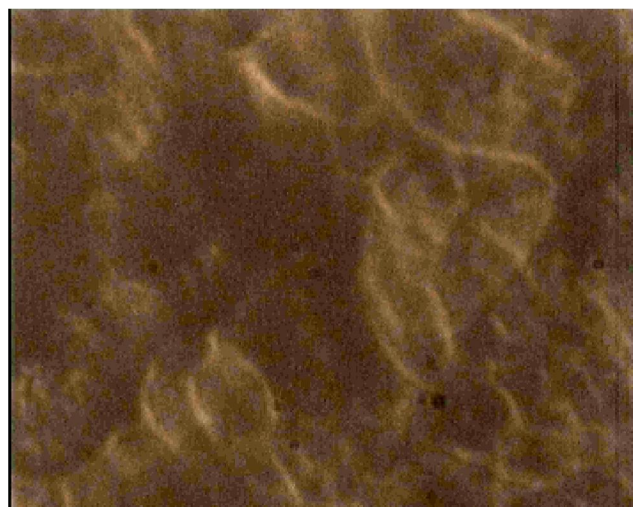
تتضمن هذه المرحلة عدة خطوات هي :

١- التجفيف (Drying) : - تم تجفيف النشارة في فرن التجفيف وبدرجة حرارة (110)° ولمدة 24 ساعة وذلك لإزالة الرطوبة الموجودة فيها وتهيئتها للمرحلة اللاحقة كما في الشكل (١).

- ٢- الطحن (Milling) :- تم الطحن باستخدام طاحونة كهربائية .
- ٣- الغربلة (Sieving) :- تم اختيار (150 μm) حجم حبيبي من نشاره الخشب لبيان تأثيره على خواص المنتج النهائي وذلك باستخدام طريقة الغربلة (Sieving) .
- ٤- الخلط (Mixing) :- بعد إعداد مسحوق نشاره الخشب وبالحجم الحبيبي حضرت الخلطات المستعملة في البحث ، أجريت عملية الخلط باستخدام خلاط كهربائي ولمدة خمس ساعات . وتم إجراء معالجة كيميائية لنشاره الخشب وذلك لزيادة الخشونة السطحية لسطح النشاره وبالتالي زيادة التلاصق بين النشاره والبولي أستير والشكل (٢) يوضح صور لسطح مادة مركبة ذات اساس من البولي استر مقواة بنشاره (a) غير معالجة ، (b) معالجة بـ (NaCl) بقوة تكبير (X-150)



(a)



(b)

الشكل (٢) يوضح صور لسطح مادة مركبة ذات اساس من البولي استر مقواة بنشاره (a) غير معالجة ، (b) معالجة بـ (NaCl) بقوة تكبير (X-150) .

Results and Discussion

5- النتائج والمناقشة:-

تمأخذ القياسات العملية وكذلك الحسابات النظرية لكل من الخصائص الريولوجية والميكانيكية ، كما نوقشت أسباب التغيرات التي تحدث في هذه الخواص عند زيادة التركيز أو نقصانه

1-5-1- الحسابات الريولوجية:

Density

- الكثافة-

تم قياس الكثافة لكافة التركيزات باستعمال قبينة كثافة ذات سعة مقدارها (10ml) وميزان إلكتروني مصنع من قبل شركة (Mettler Switzerland) بحساسية 0.0001g عملياً وكما هو موضح في الشكل(٤) الذي تزداد فيه قيمة الكثافة مع زيادة التركيز وسببها يعود إلى زيادة كثافة المحلول والانتفاخ الحاصل في جزيئات البولي أستر نتيجة لتجانسها مع نشرة الخشب، وهذه الزيادة تتفق مع ما حصل عليه الباحثون (Al-Bermany, 1995 & Hassun, 1993).

Shear Viscosity

-اللزوجة القصبية

تم حساب قيمة اللزوجة القصبية باستعمال المعادلة (١) والشكل (٥) يوضح تغير اللزوجة القصبية مع التركيز ونلاحظ أن قيمة اللزوجة تزداد مع زيادة تركيزه وسبب ذلك يعود إلى تحويلها إلى شكل معقد مما يؤدي إلى تكوين سلاسل بوليميرية ذات جزيئات كبيرة الحجم نتيجة لزيادة تركيز البولي أستر وبالتالي تؤدي إلى زيادة قوى الاحتكاك الدورانية والانتقالية بين جزيئات البوليمر والمضاف (Al-Bermany, 1995).

1-5-2- الحسابات الميكانيكية:

Ultrasonic Measurements

1-5-2-1- القياسات فوق السمعية

Ultrasonic Velocity

1-5-2-1-1- سرعة الموجات فوق السمعية

تم قياس سرعة الموجات فوق السمعية وذلك بقسمة المسافة التي تقطعها الموجة داخل محلول البولي أستر على زمن التأخير (delay time) والشكل(٦) يوضح العلاقة بين سرعة الموجات فوق السمعية لمتراكب البولي أستر - نشرة الخشب مع التركيز إذ نلاحظ أن سرعة الموجات فوق السمعية تزداد كلما ازداد التركيز وسبب ذلك هو أن التفاعل (Interaction) أدى إلى اتحاد نوعين من جزيئات البوليمر والنشرة مما أدى إلى تكوين جزيئات كبيرة (Macromolecular) داخل محلول و التي تعمل على نقل الموجات الميكانيكية من مصدر الاضطراب على هيئة حزم موجية، مما أدى إلى زيادة السرعة خلافاً للسوائل البسيطة أو النقية [الحازمي، ١٩٨٦] . وتنتفق هذه النتائج مع نتائج الباحثين [Al-Bermany, 1995& Al-Ani, 1992]

1-5-2-2- معامل امتصاص الموجات فوق السمعية Ultrasonic Absorption Coefficient

تم حساب قيمة معامل الامتصاص للموجات فوق السمعية عند تركيز مختلف باستعمال المعادلة (٥) والشكل (٧) يوضح زيادة معامل الامتصاص لمتراكب البولي أستر - نشرة الخشب مع زيادة التركيز ، حيث أن معامل الامتصاص يعتمد على اللزوجة والتوصيلية الحرارية والتشتت وبما أن كلاً من التوصيلية الحرارية والتشتت تأثيرهما قليل في المعادلة (٥) لذا يمكن إهماله لذلك فاللزوجة هي مسؤولة عن زيادة امتصاص الموجات فوق السمعية وفي بعض الأحيان يسمى معامل امتصاص اللزوجة [Al-Bermany, 2003]. لذا فإن أي زيادة في اللزوجة تؤدي إلى زيادة في معامل الامتصاص إذ إن معامل الامتصاص يعتمد اعتماداً كبيراً على التركيز في محلول وهذا السلوك يتفق مع ما حصل عليه الباحثون [عبد المجيد، ١٩٩٣، العبادي، ١٩٩٥]

Relaxation time

٥-٢-٣ زمن الاسترخاء

تم حساب قيم زمن الاسترخاء باستعمال القيمة العملية المقيسة لكل من الكثافة واللزوجة والسرعة حسب العلاقة(٦) ، والشكل (٨) يوضح العلاقة بين زمن الاسترخاء لمتراكم البولي أستر - نشارة الخشب والتركيز ، إذ يلاحظ زيادة زمن الاسترخاء مع التركيز فيفسر بزيادة حجم السلسل البوليميرية مما يؤدي إلى زيادة الاحتكاك الداخلي بين طبقات السائل الناتجة من التضاغط والتخلخل نتيجة تأثير الموجات فوق السمعية وبذلك يزداد الزمن اللازم لإعادة الجزيئه المستثارة إلى وضعها الأصلي وهذه النتائج تشابه ما حصل عليه الباحثون-AL-Bermany, 1995 [

Relaxation Amplitude

٥-٢-٤ سعة الاسترخاء

تم حساب قيم سعة الاسترخاء من العلاقة (٧) والشكل (٩) يوضح العلاقة بين سعة الاسترخاء لمتراكم البولي أستر - نشارة الخشب والتركيز إذ يلاحظ من الشكل أن سعة الاسترخاء تزداد مع زيادة التركيز والسبب يعود إلى كبر المسافة التي تقطعها الجزيئه أثناء عملية الاستثارة، بسبب كون عزم القصور الذاتي للجزئية الكبيرة يكون كبيراً [AL-Bermany, 2003] علاوة على أن سعة الاسترخاء تتاسب طردياً مع معامل الامتصاص كما موضح بالعلاقة السابقة، وهذه النتائج تتفق مع نتائج الباحثين (Hassun, & 1989 العبادي, 1995).

Specific Acoustic Impedance

٥-٢-٥ الممانعة الصوتية النوعية

تم الحصول على قيم الممانعة الصوتية النوعية باستخدام العلاقة(٨) والشكل (١٠) يوضح زيادة قيم الممانعة لمتراكم البولي أستر - نشارة الخشب مع زيادة التركيز ، وسبب ذلك يعود إلى زيادة عدد الجزيئات في المتراكم الذي يؤدي إلى زيادة كثافة الوسط الناقل وبالتالي زيادة سرعة الموجات فوق السمعية لأن السرعة تزداد بشكل كبير مع زيادة التركيز مما يؤدي إلى زيادة الممانعة الصوتية النوعية وهذا يتفق مع ما توصل إليه الباحثون [عبد المجيد ، ١٩٩٣ & Al-Ani, 1992]

Compressibility

٥-٢-٦ الانضغاطية

تم الحصول على قيم الانضغاطية من العلاقة (٩) والشكل(١١) يوضح تغير قيم الانضغاطية لمتراكم البولي أستر - نشارة الخشب مع التركيز إذ يوضح الشكل نقصان قيم الانضغاطية مع زيادة التركيز ، وسبب ذلك يعود إلى اندماج نوعين من الجزيئات التي أدت بدورها إلى تجمع السلسل البوليميرية المتقاربة بعضها مع بعض نتيجة اندماج نوعين من الجزيئات. وهذا يتفق مع ما حصل عليه الباحثون [الطيار، ١٩٩٠ & العامري، ٢٠٠٣]

Bulk Modulus

٥-٢-٧ معامل المرونة

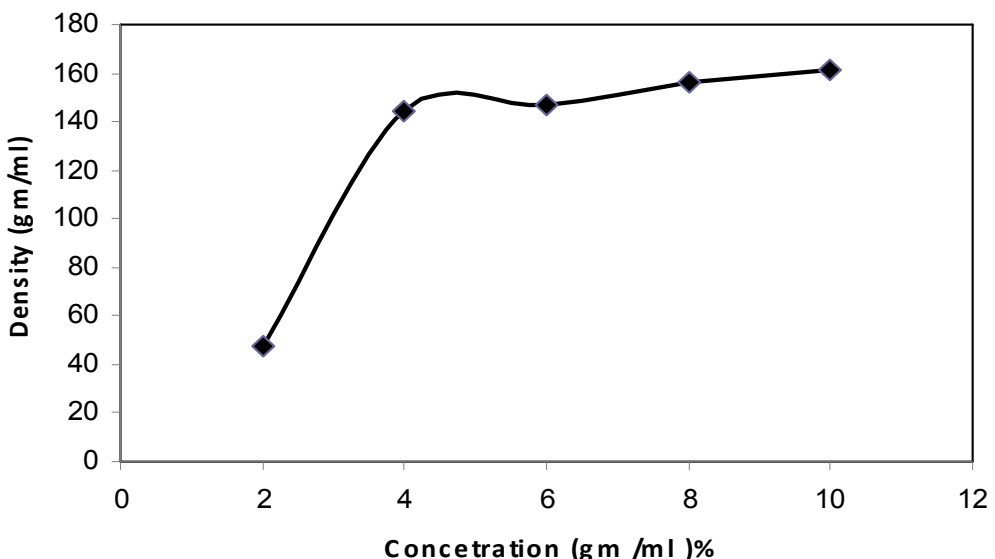
تم حساب قيم معامل المرونة لمختلف التراكيز حسب العلاقة (١٠) والشكل(١٢) يوضح تغير قيم معامل المرونة لمتراكم البولي أستر - نشارة الخشب مع زيادة التركيز ، إذ نلاحظ من الجدول زيادة قيمها وسبب ذلك من خلال العلاقة السابقة يلاحظ اعتماد معامل المرونة على سرعة الموجات فوق السمعية بصورة رئيسية لذلك فمن المتوقع سلوك معامل المرونة نفس سلوك سرعة الموجات فوق السمعية وهذه النتيجة تتفق مع نتائج الباحثين [Al-Bermany, 1995 & العامري، ٢٠٠٣].

Conclusion

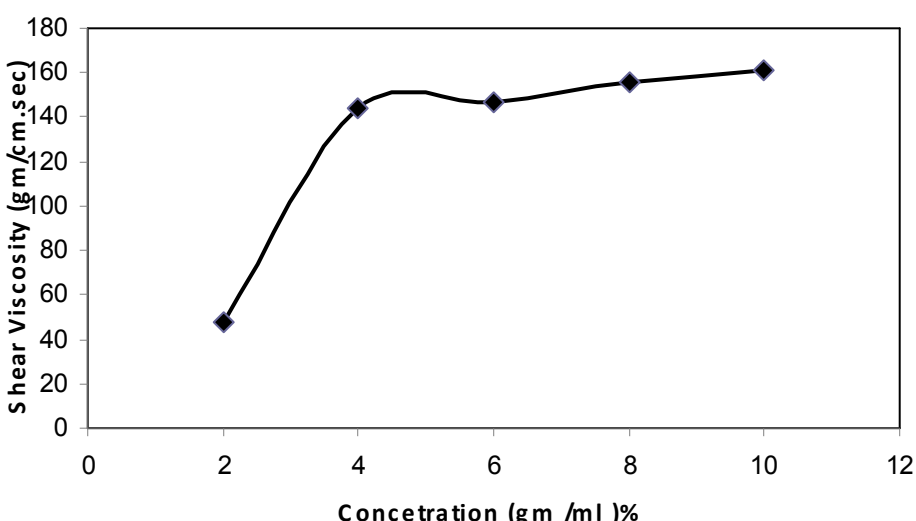
الاستنتاجات:

من خلال النتائج والرسومات البيانية أمكن التوصل إلى الاستنتاجات الآتية :

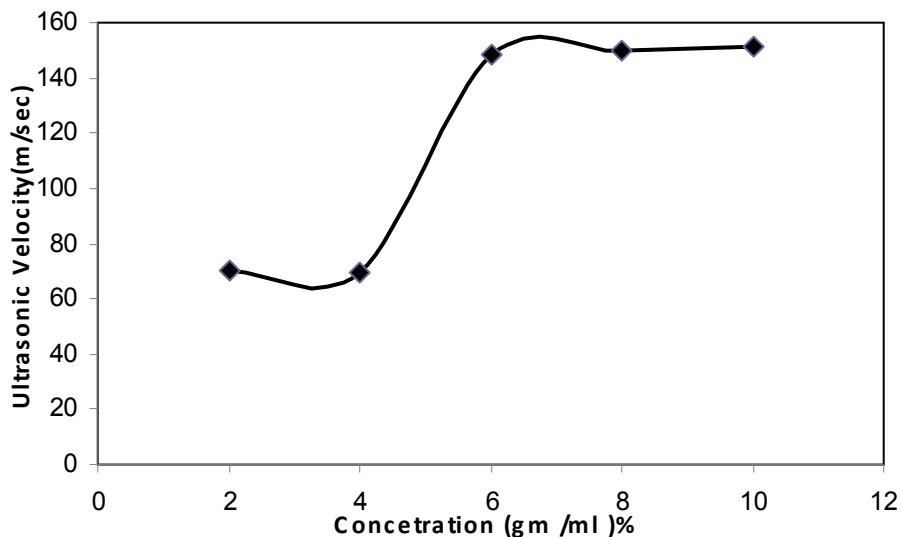
١. من خلال هذا البحث فان متراس البولي أستر - نشاره الخشب تضرر تغيراً مستمراً في خواصها الريولوجية والميكانيكية مع زيادة التركيز لذلك يمكن الاستفادة منها في الكثير من التطبيقات الصناعية المختلفة.
٢. إن وجود الاندماج الداخلي بين جزيئات النشاره و جزيئات البولي أستر أدى إلى جعل المتراس أكثر قوة ومتانة. إن استخدام نشاره خشب بمعدل الحجم الحبيبي من ($150\mu\text{m}$) ومعالج كيميائيا يعطي أفضل النتائج من استخدام أحجام حبيبية أخرى.



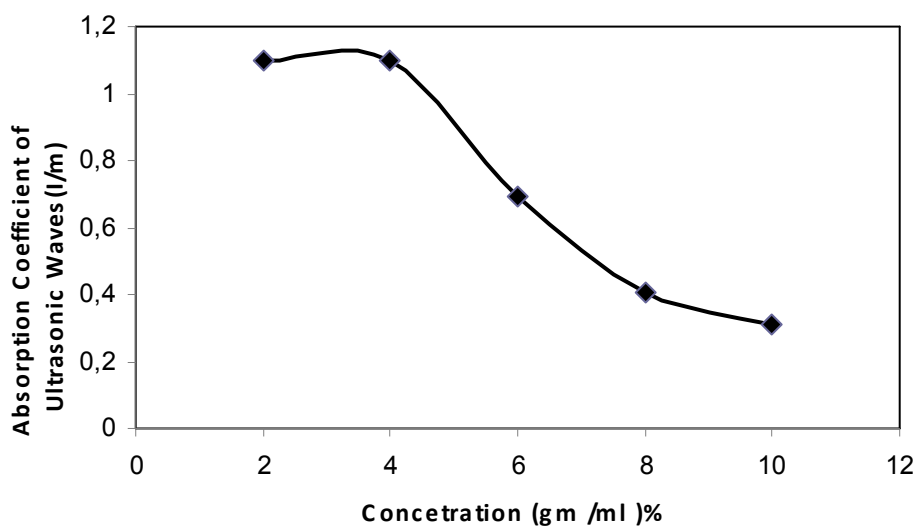
الشكل (٤) يوضح العلاقة بين الكثافة والتراكز لمتراس البولي أستر المقواة بنشاره الخشب المعالج



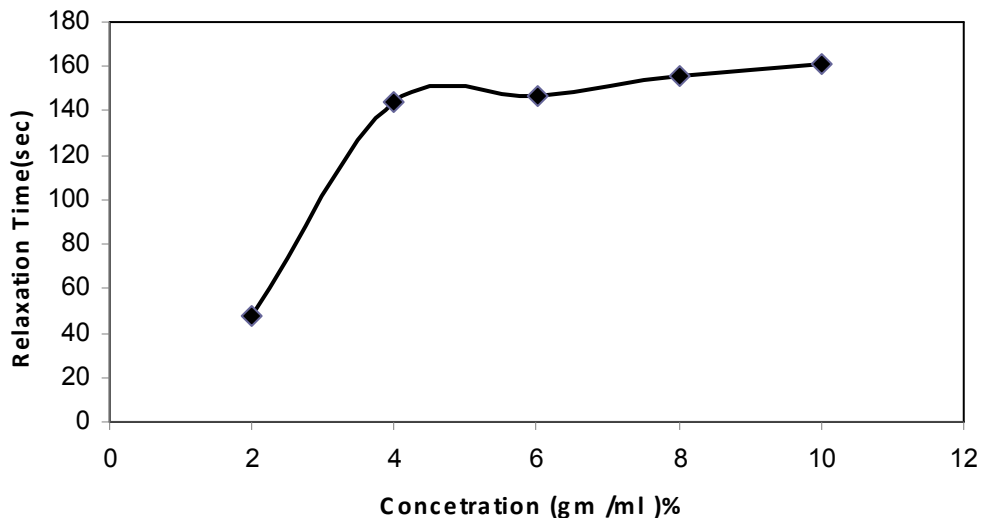
الشكل (٥) يوضح العلاقة بين الزوجة القصبية للموجات فوق السمعية والتراكز لمتراس البولي أستر المقواة بنشاره الخشب المعالج



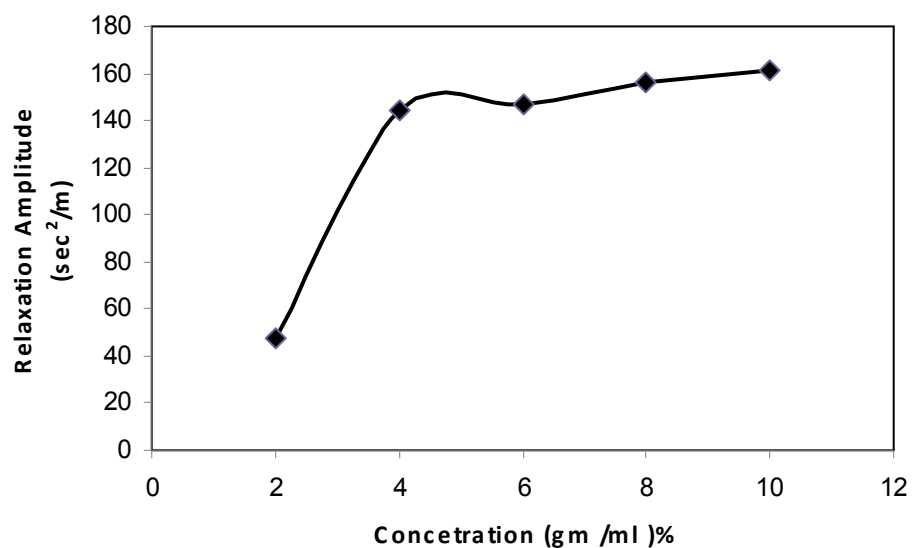
الشكل (٦) يوضح العلاقة بين سرعة الموجات فوق السمعية والتركيز لمتراس البولي أستر المقواة بنشرة الخشب المعالج



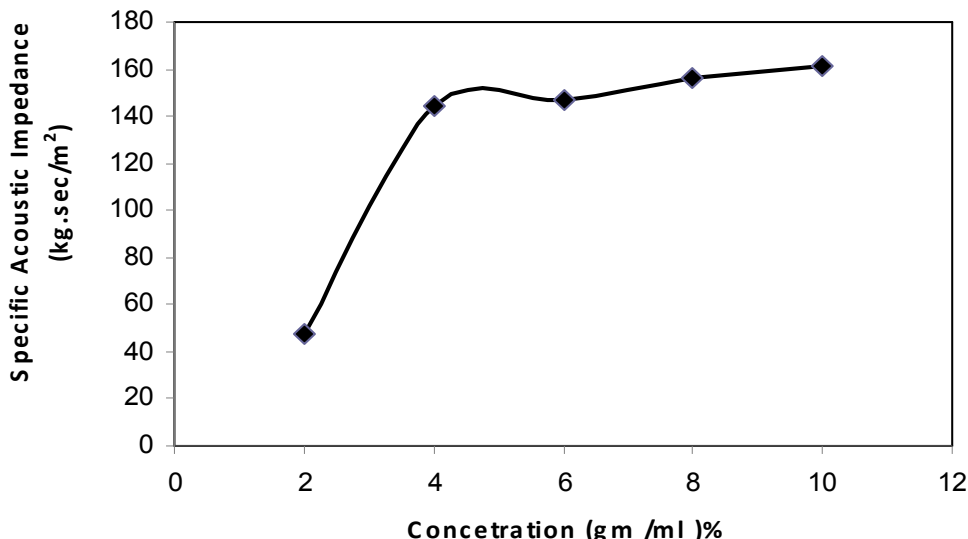
الشكل (٧) يوضح العلاقة بين معامل الامتصاص الموجات فوق السمعية والتركيز لمتراس البولي أستر المقواة بنشرة الخشب المعالج



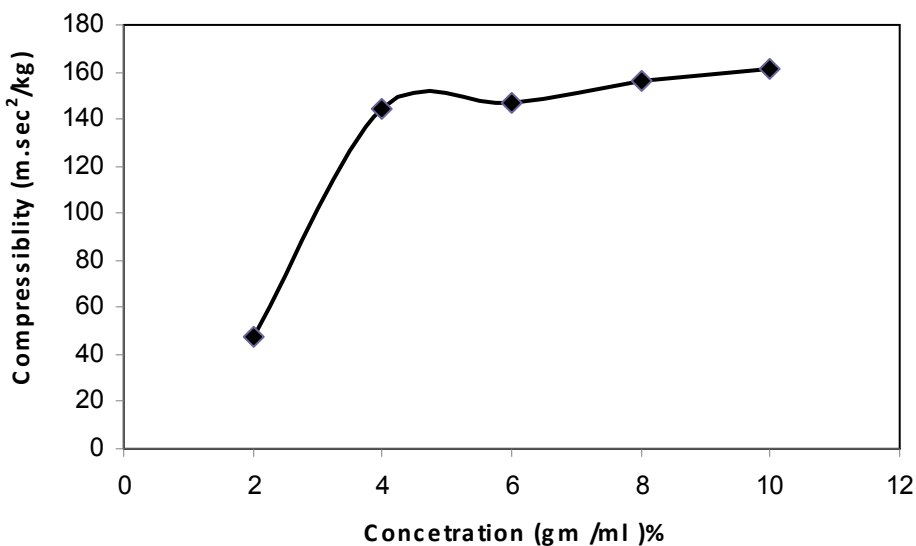
الشكل (٨) يوضح العلاقة بين زمن الاسترخاء والتراكز لمتراس البولي أستر المقواة بنشاره الخشب المعالج



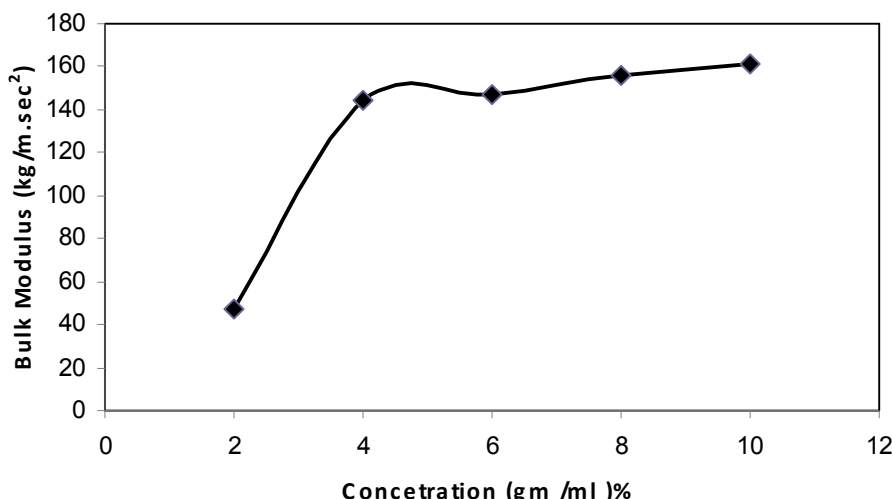
الشكل (٩) يوضح العلاقة بين سعة الاسترخاء والتراكز لمتراس البولي أستر المقواة بنشاره الخشب المعالج



الشكل (١٠) يوضح العلاقة بين الممانعة النوعية الصوتية والتركيز لمتراس البولي أستر المقواة بنشرة الخشب المعالج



الشكل (١١) يوضح العلاقة بين الانضغاطية والتركيز لمتراس البولي أستر المقواة بنشرة الخشب المعالج



الشكل

(١٢) يوضح العلاقة بين معامل المرونة والتركيز لمتراس البولي أستر المقواة بنشرة الخشب المعالج

المصادر

الحازمي د. حسن بن محمد و د. محمد بن ابراهيم الحسن ، (١٩٨٦) " الكيمياء العضوية " ، قسم الكيمياء ، كلية العلوم ، جامعة الملك سعود ، الطبعة الاولى ، ، صفحة (٣٠٠ - ٢٩١).

العادي، زياد، (١٩٩٥) "دراسة تأثير أشعة كاما على الخواص الفيزيائية لبولي ستايرين" ، رسالة ماجستير، جامعة بغداد- كلية التربية الثانية، ابن الهيثم.

عبد المجيد، سعاد مصلح الدين ،(١٩٩٣) "دراسة تأثير أشعة كاما على بعض الخصائص الفيزيائية لبعض البوليمرات الذائبة في الماء (بولي فايدينيل باربوليرون PVDP)" . باستخدام تقنية الموجات فوق السمعية، رسالة ماجستير، الجامعة المستنصرية- كلية العلوم.

العامري، صالح حسون، (٢٠٠٣) "تأثير أشعة كاما ودرجة الحرارة في بعض الخصائص الفيزيائية لبولي ستايرين بيوتاديين" ، رسالة ماجستير، جامعة بابل- كلية العلوم.

الطيار ، صباح خضر (١٩٩٠)" دراسة تأثير المذيبات المختلفة على الخصائص الفيزيائية لمادة بولي كلوريد الفايدينيل باستعمال تقنية الموجات فوق السمعية " رسالة ماجستير ، جامعة بغداد- ابن الهيثم

Al-Bermany, A.K.J. (1995)"A Study of the Physical Properties of some Cellulose Derivative Polymers", Al-Mustansiryah University, Ph. D. Thesis.

Al-Bermany, A.K.J., (2003)"Babylon Univ. J.", Vol. 8, No. 3.

Al-Ani, S.K.J., (1992)"Acustica J.", Vol. 75, pp. 276- 278. A. Davis, (1983). "Weathering of Polymers ", Applied Science Pub..

Bio Graphies and Abstracts , (2001) " 6 th International Conference on Wood Fibers – Plastic Composites " , USA , May .

D. Dobreva , S. Nenkova , et.al , (2006) " Morphology and Mechanical Properties of Polypropylene – Wood Flour Composites " , Department of Polymer Engineering , Bulgaria , (209-219),.

Hans-Geory E., Vohwinkel F., , (1986). "NEW COMMERCIAL POLYMERS 2", Gordon and Breach Science Publishers

Hassun, S.K. and Rahman, S.(1989)"Iraqi J. of Sci.", Vol. 30, N. 3, p 426.

Yibin Xue , David Veazie (2003) " Mechanical Properties of Wood Fiber Composites under The Influence of Temperature and Humidity " , Department of engineering Clark Atlanta University , Georgia.

Nicole M. Starck and Robert E. Rowlands ,(2002). Effects of Wood Fiber Characteristics on Mechanical Properties of Wood/Polypropylene Composites " , USA ,

Khansaa D.S., Ph.D. , (2003) . Thesis, University of Technology, Baghdad - Iraq